

第2章 规则金属波导

2.1 导波原理

2.2 矩形波导

2.3 圆形波导

2.4 波导的激励与耦合



主要内容:

1. 圆波导中的场
2. 圆波导的传输特性
3. 圆波导三种常用模式

基本要求:

1. 掌握圆波导的定义
2. 掌握圆波导中的场
3. 掌握圆波导中的传输特性:截止波长、简并模和传输功率
4. 掌握圆波导中三种主要模式: TE_{11} 、 TM_{01} 、 TE_{01}

习题:2.8, 2.9, 2.11

2.3 圆形波导(Circular Waveguide)

一、圆波导的一些特点

◆1. 圆波导的提出来自实践的需要。例如，雷达的旋转搜索需要旋转关节；极化衰减器，多模或波纹喇叭，都会应用到圆波导。因此，几何对称性给圆波导带来广泛的用途和价值。

◆2. 从力学和应力平衡角度，机加工圆波导更为有利，对于误差和方便性等方面均略胜矩形波导一筹。

◆3. 探索小衰减，大功率传输线，想到圆波导是自然的。

⊕功率容量和衰减是十分重要的两个指标。

⊕广义上看
$$\begin{cases} \text{功率容量} & P_{\max} \propto S (\text{其中} S \text{是截面}) \\ \text{衰减} & a \propto L (\text{其中} L \text{是周长}) \end{cases}$$

⊕品质因数
$$F = \frac{P_{\max}}{a} \propto \frac{S}{L}$$

⊕在相同周长的条件下，圆面积最大

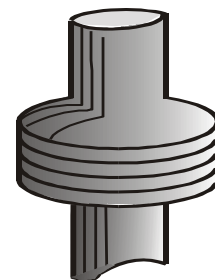


图 旋转关节

(Rotation Junction)

2.3 圆形波导(Circular Waveguide)

一、圆波导的一些特点

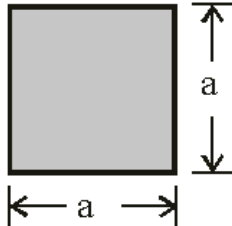
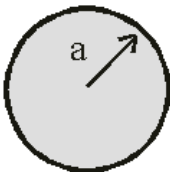
◆3. 探索小衰减，大功率传输线，想到圆波导是自然的。

⊕功率容量和衰减是十分重要的两个指标。

⊕广义上：
$$\begin{cases} \text{功率容量} & P_{max} \propto S (\text{其中} S \text{是截面}) \\ \text{衰减} & \alpha \propto L (\text{其中} L \text{是周长}) \end{cases}$$

⊕品质因数 $F = \frac{P_{max}}{\alpha} \propto \frac{S}{L}$

⊕在相同周长的条件下，圆面积最大

		
周长 L	$4a$	$2\pi R, R = \frac{2a}{\pi}$
面积 S	a^2	$\pi R^2 = \frac{4}{\pi} a^2 = \max$

2.3 圆形波导(Circular Waveguide)

一、圆波导的一些特点

◆4.矩形波导中存在的一个矛盾，频率升高时衰减在矩形波导中上升很快。圆波导中，有的波型(圆波导中 H_{01} 波型)高频时衰减减小。

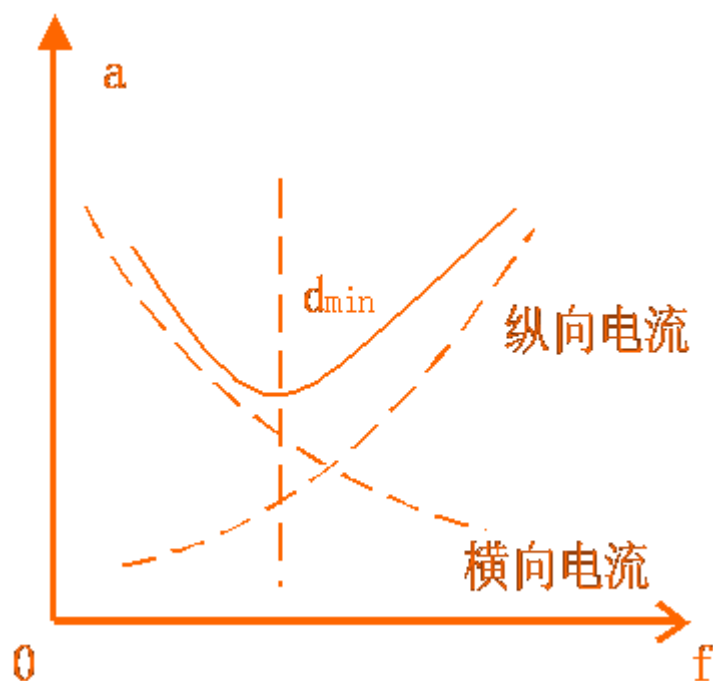


图 矩形波导 TE_{10} 波衰减

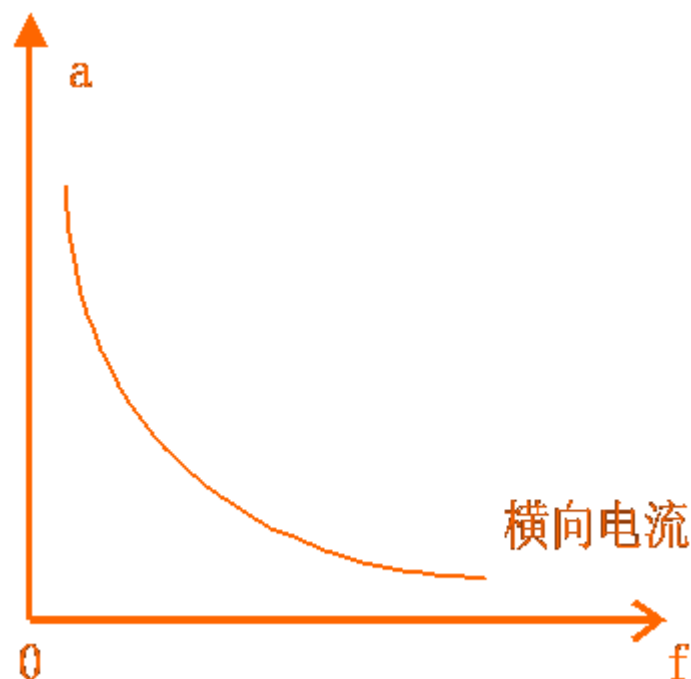


图 圆波导 H_{01} 波衰减

2.3 圆形波导(Circular Waveguide)

二、圆波导中的场

1.圆波导采用圆柱坐标系

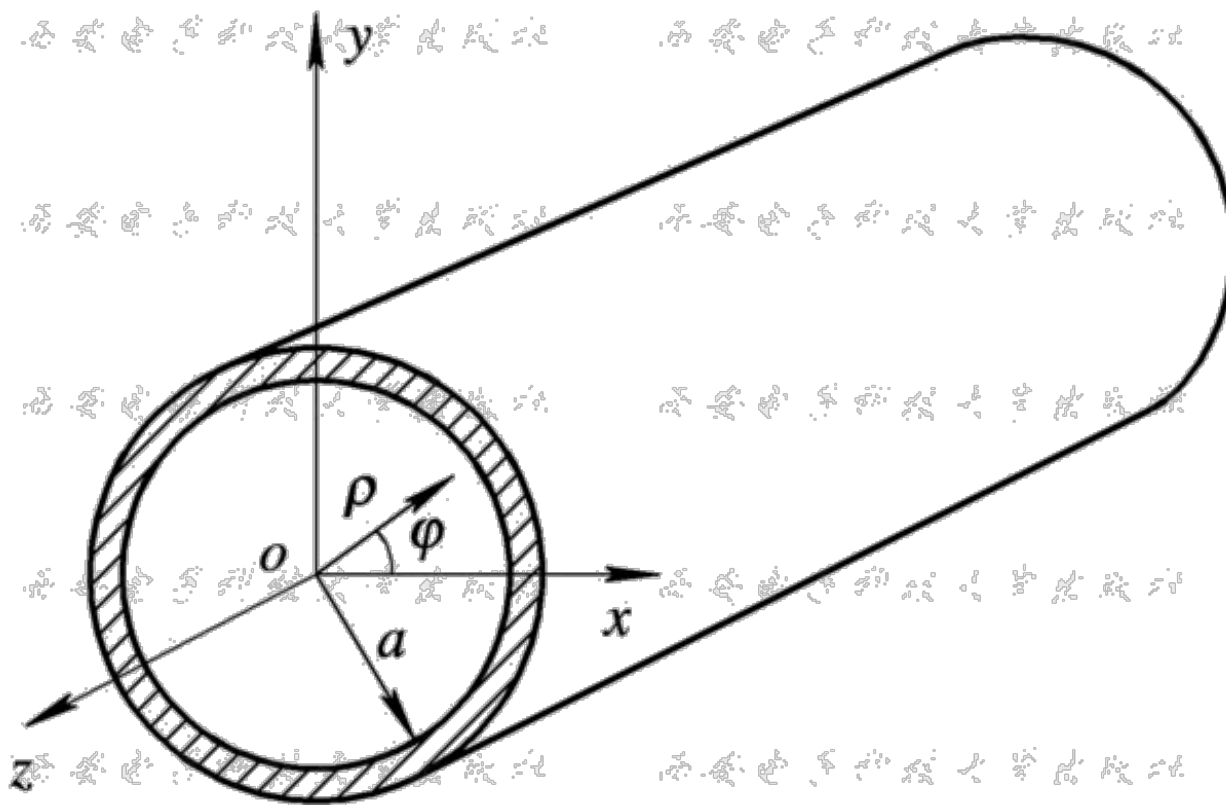


图2-6 圆波导及其坐标系

2.3 圆形波导(Circular Waveguide)

二、圆波导中的场

2.求解思路

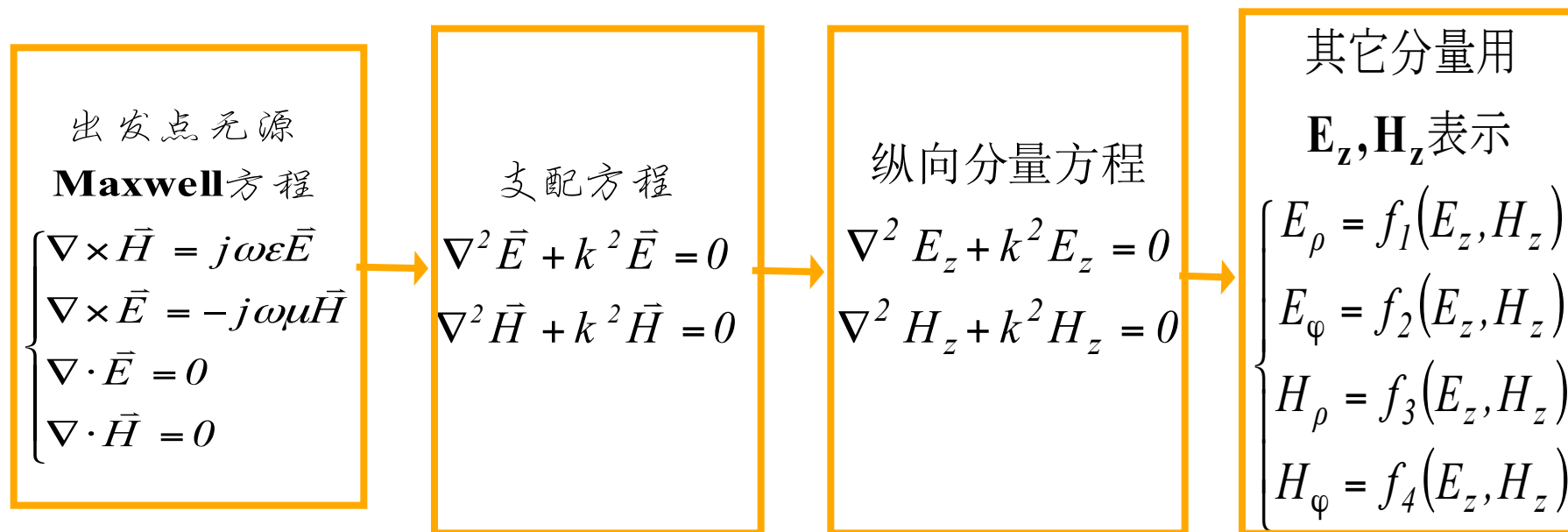


图 导波系统一般求解思路

2.3 圆形波导(Circular Waveguide)

二、圆波导中的场

3.对比矩形波导

矩形波导	圆波导
$E_x, E_y, E_z, H_x, H_y, H_z$	$E_\rho, E_\varphi, E_z, H_\rho, H_\varphi, H_z$
$\nabla^2 = \frac{\partial^2}{\partial x^2} + \frac{\partial^2}{\partial y^2} + \frac{\partial^2}{\partial z^2}$	$\nabla^2 = \frac{1}{\rho} \frac{\partial}{\partial \rho} \left(\rho \frac{\partial}{\partial \rho} \right) + \frac{1}{\rho^2} \frac{\partial^2}{\partial \varphi^2} + \frac{\partial^2}{\partial z^2}$

2.3 圆形波导(Circular Waveguide)

二、圆波导中的场

4.划分为TE和TM波,场的z分量分别满足
$$\begin{cases} \nabla^2 E_z + k^2 E_z = 0 \\ \nabla^2 H_z + k^2 H_z = 0 \end{cases}$$

5.以TE波作为例子, $E_z=0$

◆(1)函数分解 $H_z = H_{0z}(\rho, \varphi)e^{-j\beta z} \neq 0$

$$\nabla_t^2 H_{0z}(\rho, \varphi) + k_c^2 H_{0z}(\rho, \varphi) = 0 \quad (2-3-1)$$

◆(2)在圆柱坐标中 $\nabla_t^2 = \frac{\partial^2}{\partial \rho^2} + \frac{1}{\rho} \frac{\partial}{\partial \rho} + \frac{1}{\rho^2} \frac{\partial^2}{\partial \varphi^2}$

◆(3)(2-3-1)式写作

$$\left(\frac{\partial^2}{\partial \rho^2} + \frac{1}{\rho} \frac{\partial}{\partial \rho} + \frac{1}{\rho^2} \frac{\partial^2}{\partial \varphi^2} \right) H_{0z}(\rho, \varphi) + k_c^2 H_{0z}(\rho, \varphi) = 0 \quad (2-3-2)$$

2.3 圆形波导(Circular Waveguide)

二、圆波导中的场

5. 以TE波作为例子, $E_z=0$

◆(3)(2-3-1)式写作 $\left(\frac{\partial^2}{\partial \rho^2} + \frac{1}{\rho} \frac{\partial}{\partial \rho} + \frac{1}{\rho^2} \frac{\partial^2}{\partial \varphi^2}\right) H_{0z}(\rho, \varphi) + k_c^2 H_{0z}(\rho, \varphi) = 0$

◆(4)进一步函数分解 $H_{0z}(\rho, \varphi) = R(\rho)\Phi(\varphi)$ (2-3-3)

$$\Phi(\varphi) \frac{\partial^2 R(\rho)}{\partial \rho^2} + \frac{1}{\rho} \Phi(\varphi) \frac{\partial R(\rho)}{\partial \rho} + \frac{R(\rho)}{\rho^2} \frac{\partial^2 \Phi(\varphi)}{\partial \varphi^2} = -k_c^2 R(\rho) \Phi(\varphi)$$

◆(5)等式两边除以 $R\Phi$

$$\frac{1}{R(\rho)} \frac{\partial^2 R(\rho)}{\partial \rho^2} + \frac{1}{R(\rho)\rho} \frac{\partial R(\rho)}{\partial \rho} + \frac{1}{\Phi(\varphi)\rho^2} \frac{\partial^2 \Phi(\varphi)}{\partial \varphi^2} = -k_c^2$$

◆(6)等式两边乘上 ρ^2

$$\frac{1}{R(\rho)} \left[\rho^2 \frac{d^2 R(\rho)}{d\rho^2} + \rho \frac{dR(\rho)}{d\rho} + \rho^2 k_c^2 R(\rho) \right] = -\frac{1}{\Phi(\varphi)} \frac{d^2 \Phi(\varphi)}{d\varphi^2}$$

2.3 圆形波导(Circular Waveguide)

二、圆波导中的场

5. 以TE波作为例子, $E_z=0$

◆(7)令一常数为 m^2 , 有

$$\rho^2 \frac{d^2 R(\rho)}{d\rho^2} + \rho \frac{dR(\rho)}{d\rho} + (\rho^2 k_c^2 - m^2) R(\rho) = 0 \quad (2-3-5a)$$

$$\frac{d^2 \Phi(\varphi)}{d\varphi^2} + m^2 \Phi(\varphi) = 0 \quad (2-3-5b)$$

◆(8)其通解分别是

$$R(\rho) = A_1 J_m(k_c \rho) + A_2 N_m(k_c \rho) = A \begin{pmatrix} J_m(k_c \rho) \\ N_m(k_c \rho) \end{pmatrix} \quad (2-3-6a)$$

$$\Phi(\varphi) = B_1 \cos m\varphi + B_2 \sin m\varphi = B \begin{pmatrix} \cos m\varphi \\ \sin m\varphi \end{pmatrix} \quad (2-3-6b)$$

2.3 圆形波导(Circular Waveguide)

三、贝塞尔函数

1. 贝塞尔函数分类

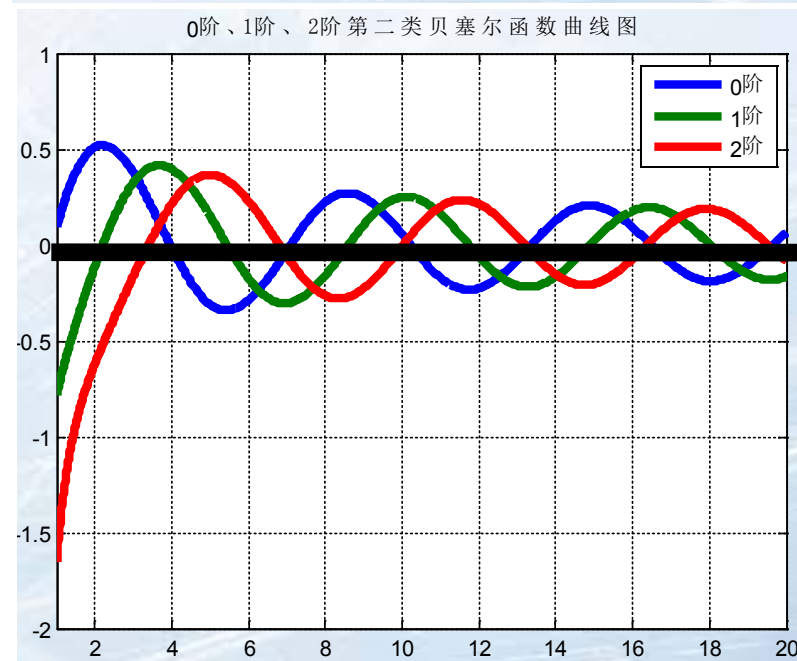
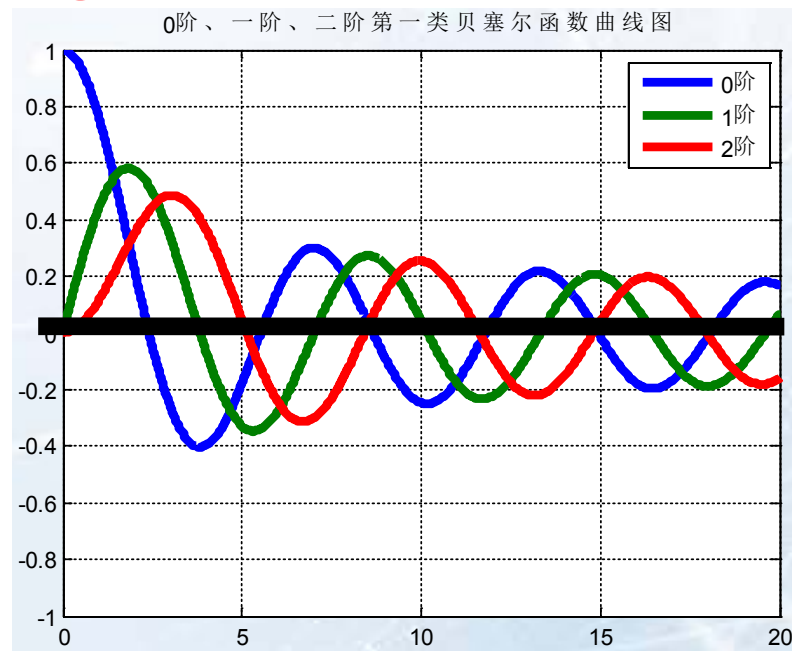
- ◆(1)第一类m阶Bessel函数 $J_m(x)$
- ◆(2)第二类m阶Bessel函数 $N_m(x)$
- ◆(3)汉开尔函数

⊕①第一类汉开尔函数

$$H_m^{(1)}(x) = J_m(x) + jN_m(x)$$

⊕②第二类汉开尔函数

$$H_m^{(2)}(x) = J_m(x) - jN_m(x)$$



2.3 圆形波导(Circular Waveguide)

三、贝塞尔函数

2. Bessel的特点

◆(1)函数值
$$\begin{cases} J_m(0) = 0 & m = 1, 2, \dots \\ J_0(0) = 1 & \lim_{x \rightarrow 0} N_m(x) \rightarrow -\infty \end{cases}$$

◆2.振荡特性(波动类周期)

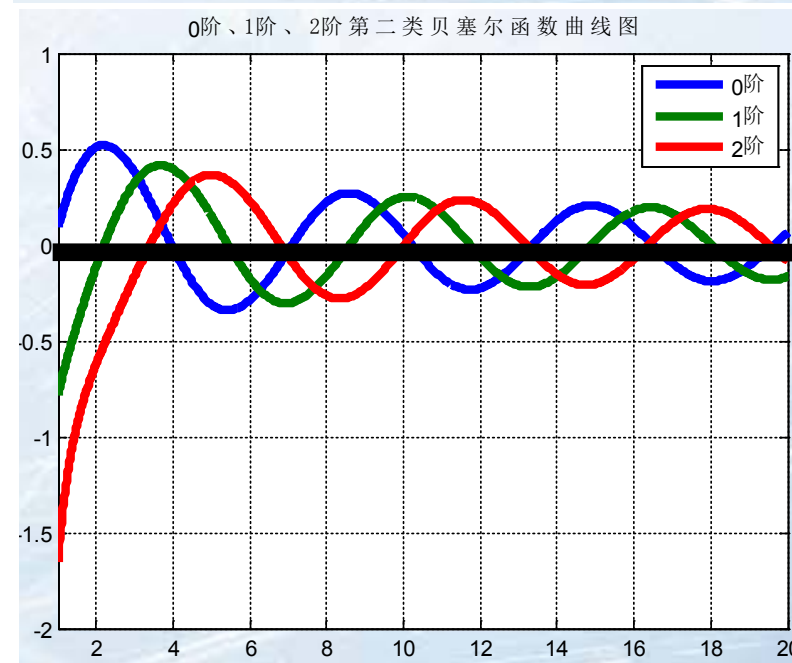
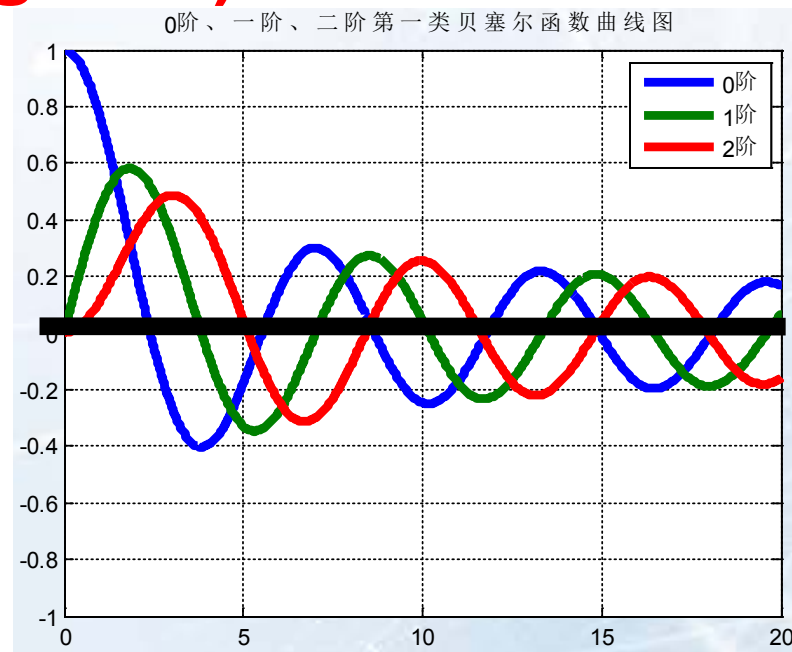
◆3.渐进式

$$\lim_{x \rightarrow 0} N_m(x) \approx \sqrt{\frac{2}{\pi x}} \sin\left(x - \frac{\pi}{4} - \frac{1}{2}m\pi\right)$$

$$\lim_{x \rightarrow 0} J_m(x) \approx \sqrt{\frac{2}{\pi x}} \cos\left(x - \frac{\pi}{4} - \frac{1}{2}m\pi\right)$$

4.导数和递推公式 $J'_0(x) = -J_1(x)$

$$J_{n+1}(x) + J_{n-1}(x) = \frac{2n}{x} J_n(x)$$



2.3 圆形波导(Circular Waveguide)

二、圆波导中的场

5. 以TE波作为例子, $E_z=0$

◆(8)其通解分别是

$$R(\rho) = A_1 J_m(k_c \rho) + A_2 N_m(k_c \rho) = A \begin{pmatrix} J_m(k_c \rho) \\ N_m(k_c \rho) \end{pmatrix} \quad (2-3-6a)$$

$$\Phi(\varphi) = B_1 \cos m \varphi + B_2 \sin m \varphi = B \begin{pmatrix} \cos m \varphi \\ \sin m \varphi \end{pmatrix} \quad (2-3-6b)$$

◆(9)讨论:

✓ ①式(2-3-6b)中后一种表示形式是考虑到圆波导的轴对称性, 因此场的极化方向具有不确定性, 使导行波的场分布在 ϕ 方向存在 $\cos m \phi$ 和 $\sin m \phi$ 两种可能的分布, 它们独立存在, 相互正交, 截止波长相同, 构成同一导行模的**极化简并模**。

✓ ②由于 $\rho \rightarrow 0$ 时 $N_m(k_c \rho) \rightarrow -\infty$, 故式(2-3-6a)中必然有 $A_2=0$ 。

2.3 圆形波导(Circular Waveguide)

二、圆波导中的场

5. 以TE波作为例子, $E_z=0$

◆(10) $H_{oz}(\rho, \varphi)$ 的通解为 $H_{oz}(\rho, \varphi) = A_l B J_m(k_c \rho) \begin{pmatrix} \cos m \varphi \\ \sin m \varphi \end{pmatrix}$ (2-3-7)

◆(11) 边界条件

圆波导包含三种边界条件

•①有限条件 $f(\rho=0) \neq \infty$

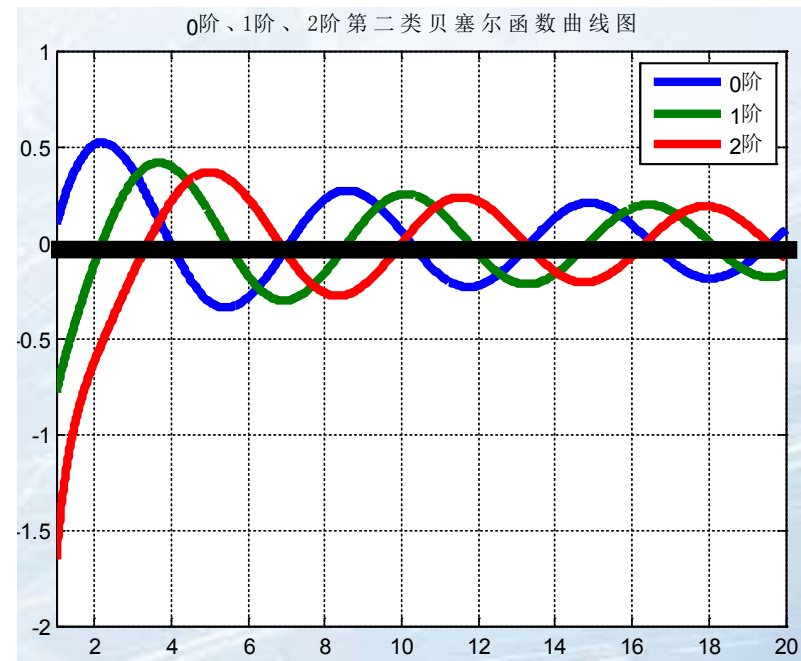
圆波导中不出现Neumann函数

•②周期条件 $f(\varphi=0) = f(\varphi=2\pi)$

要求m为整数阶

•③理想导体条件 $E_t(\rho=a)=0 \rightarrow E_\varphi, E_z|_{\rho=a} = 0$

分TE、TM两种情况讨论



2.3 圆形波导(Circular Waveguide)

二、圆波导中的场

5. 以TE波作为例子, $E_z=0$

③理想导体条件 $E_t(\rho=a)=0 \rightarrow E_\varphi, E_z|_{\rho=a}=0$

Case1: TE情况, $E_z=0, H_z = A_1 B J_m(k_c \rho) \begin{pmatrix} \cos m \varphi \\ \sin m \varphi \end{pmatrix} e^{-\gamma z}$

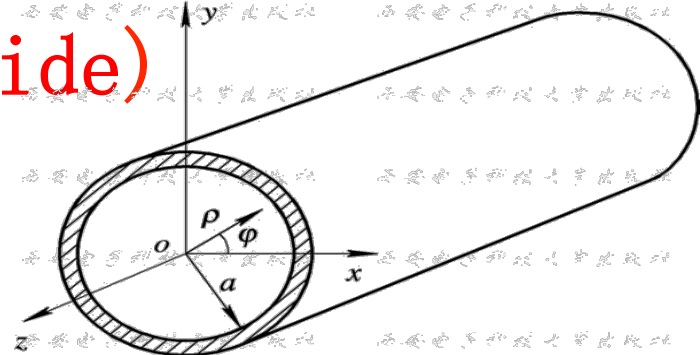


图2-6 圆波导及其坐标系

$$\begin{bmatrix} E_\rho \\ E_\varphi \\ H_\rho \\ H_\varphi \end{bmatrix} = \frac{1}{k_c^2} \begin{bmatrix} -\gamma & 0 & 0 & -j\omega\mu \\ 0 & -\gamma & j\omega\mu & 0 \\ 0 & j\omega\epsilon & -\gamma & 0 \\ -j\omega\epsilon & 0 & 0 & \gamma \end{bmatrix} \begin{bmatrix} 0 \\ 0 \\ \frac{\partial H_z}{\partial \rho} \\ \frac{1}{\rho} \frac{\partial H_z}{\partial \varphi} \end{bmatrix}$$

●应用导体边界条件 $E_t(\rho=a)=0 \rightarrow E_\varphi, E_z|_{\rho=a}=0$ 有 $J'_m(k_c a)=0$

●令 μ_{mn} 是 m 阶 Bessel 函数导数的第 n 个根, 则

$$k_c a = \mu_{mn} \quad (n=1, 2, 3, \dots) \quad k_c = \frac{\mu_{mn}}{a} = \frac{2\pi}{\lambda_c} \quad \lambda_c = \frac{2\pi a}{\mu_{mn}}$$

●令模式振幅 $H_{mn}=A_1 B$, 则 $H_z(\rho, \varphi, z)$ 的通解为

$$H_z(\rho, \varphi, z) = \sum_{m=0}^{\infty} \sum_{n=1}^{\infty} H_{mn} J_m\left(\frac{\mu_{mn}}{a} \rho\right) \begin{pmatrix} \cos m \varphi \\ \sin m \varphi \end{pmatrix} e^{-j\beta z} \quad (2-3-10)$$

2.3 圆形波导

二、圆波导中的场

5. 以TE波作为例子, $E_z=0$

③理想导体条件 $E_t(\rho=a)=0 \rightarrow E_\varphi, E_z|_{\rho=a}=0$

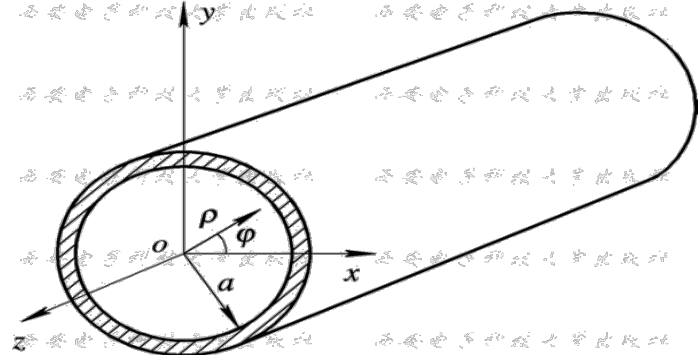


图2-6 圆波导及其坐标系

Case1: TE情况, $E_z=0$

●有不变性矩阵可求得其它场分量

●圆波导中同样存在着无穷多种TE模, 不同的m和n代表不同的模式, 记作TE_{mn}

●m表示场沿圆周分布的整波数, n表示场沿半径分布的最大值个数

●波阻抗为 $Z_{TE_{mn}} = \frac{E_\rho}{H_\varphi} = \frac{\omega\mu}{\beta_{TE_{mn}}}$

式中 $\beta_{TE_{mn}} = \sqrt{k^2 - \left(\frac{\mu_{mn}}{a}\right)^2}$

$$\left\{ \begin{array}{l} E_\rho = \pm \sum_{m=0}^{\infty} \sum_{n=1}^{\infty} \frac{j\omega\mu ma^2}{\mu_{mn}^2 \rho} H_{mn} J_m\left(\frac{\mu_{mn}}{a} \rho\right) \begin{pmatrix} \sin m \varphi \\ \cos m \varphi \end{pmatrix} e^{-j\beta z} \\ E_\varphi = \sum_{m=0}^{\infty} \sum_{n=1}^{\infty} \frac{j\omega\mu a}{\mu_{mn}} H_{mn} J'_m\left(\frac{\mu_{mn}}{a} \rho\right) \begin{pmatrix} \cos m \varphi \\ \sin m \varphi \end{pmatrix} e^{-j\beta z} \\ E_z = 0 \\ H_\rho = \sum_{m=0}^{\infty} \sum_{n=1}^{\infty} \frac{-j\beta a}{\mu_{mn}} H_{mn} J'_m\left(\frac{\mu_{mn}}{a} \rho\right) \begin{pmatrix} \cos m \varphi \\ \sin m \varphi \end{pmatrix} e^{-j\beta z} \\ H_\varphi = \pm \sum_{m=0}^{\infty} \sum_{n=1}^{\infty} \frac{j\beta ma^2}{\mu_{mn}^2 \rho} H_{mn} J_m\left(\frac{\mu_{mn}}{a} \rho\right) \begin{pmatrix} \sin m \varphi \\ \cos m \varphi \end{pmatrix} e^{-j\beta z} \\ H_z = \sum_{m=0}^{\infty} \sum_{n=1}^{\infty} H_{mn} J_m\left(\frac{\mu_{mn}}{a} \rho\right) \begin{pmatrix} \cos m \varphi \\ \sin m \varphi \end{pmatrix} e^{-j\beta z} \end{array} \right.$$

2.3 圆形波导(Circular Waveguide)

二、圆波导中的场

③理想导体条件 $E_t(\rho=a)=0 \rightarrow E_\varphi, E_z|_{\rho=a}=0$

□ Case2: TM情况, $H_z=0, E_z=A_1 B J_m(k_c \rho) \begin{pmatrix} \cos m \varphi \\ \sin m \varphi \end{pmatrix} e^{-\gamma z}$

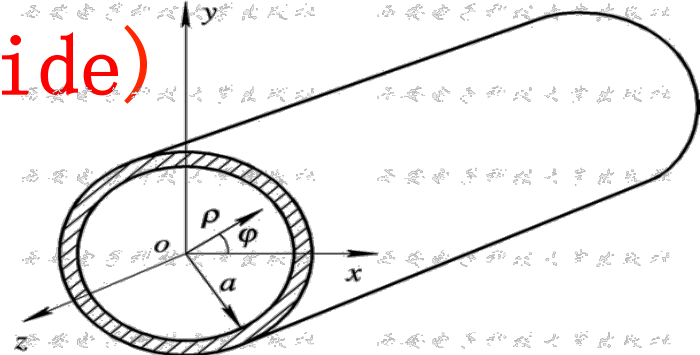


图2-6 圆波导及其坐标系

$$\begin{bmatrix} E_\rho \\ E_\varphi \\ H_\rho \\ H_\varphi \end{bmatrix} = \frac{1}{k_c^2} \begin{bmatrix} -\gamma & 0 & \bullet & 0 & -j\omega\mu \\ 0 & -\gamma & \bullet & j\omega\mu & 0 \\ 0 & j\omega\varepsilon & \bullet & -\gamma & 0 \\ -j\omega\varepsilon & 0 & \bullet & 0 & \gamma \end{bmatrix} \begin{bmatrix} \frac{\partial E_z}{\partial \rho} \\ \frac{1}{\rho} \frac{\partial E_z}{\partial \varphi} \\ 0 \\ 0 \end{bmatrix}$$

●应用导体边界条件 $E_t(\rho=a)=0 \rightarrow E_\varphi, E_z|_{\rho=a}=0$ 有 $J_m(k_c a)=0$

●令 v_{mn} 是 m 阶 Bessel 函数的第 n 个根, 则

$$k_c a = v_{mn} \quad (n=1, 2, 3, \dots) \quad k_c = \frac{v_{mn}}{a} = \frac{2\pi}{\lambda_c} \quad \lambda_c = \frac{2\pi a}{v_{mn}}$$

●令模式振幅 $E_{mn}=A_1 B$, 则 $E_z(\rho, \varphi, z)$ 的通解为

$$E_z(\rho, \varphi, z) = \sum_{m=0}^{\infty} \sum_{n=1}^{\infty} E_{mn} J_m\left(\frac{v_{mn}}{a} \rho\right) \begin{pmatrix} \cos m \varphi \\ \sin m \varphi \end{pmatrix} e^{-j\beta z} \quad (2-3-13)$$

2.3 圆形波导

二、圆波导中的场

③理想导体条件 $E_t(\rho=a)=0 \rightarrow E_\varphi, E_z|_{\rho=a}=0$

□Case2: TM情况, $H_z=0$

- 有不变性矩阵可求得其它场分量
- 圆波导中同样存在着无穷多种TM模, 不同的m和n代表不同的模式, 记作 TM_{mn}
- m表示场沿圆周分布的整波数, n表示场沿半径分布的最大值个数

●波阻抗为

$$Z_{TM_{mn}} = \frac{E_\varphi}{H_\rho} = \frac{\beta_{TM_{mn}}}{\omega \varepsilon}$$

式中 $\beta_{TM_{mn}} = \sqrt{k^2 - \left(\frac{v_{mn}}{a}\right)^2}$

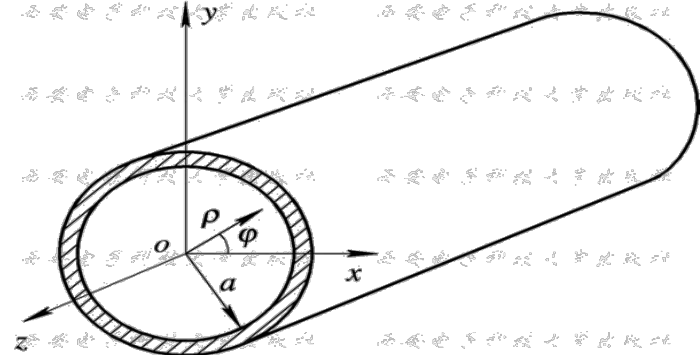


图2-6 圆波导及其坐标系

$$\left\{ \begin{array}{l} E_\rho = \sum_{m=0}^{\infty} \sum_{n=1}^{\infty} \frac{-j\beta a}{v_{mn}} E_{mn} J'_m\left(\frac{v_{mn}}{a}\rho\right) \begin{pmatrix} \cos m\varphi \\ \sin m\varphi \end{pmatrix} e^{-j\beta z} \\ E_\varphi = \pm \sum_{m=0}^{\infty} \sum_{n=1}^{\infty} \frac{j\beta m a^2}{v_{mn}^2 \rho} E_{mn} J_m\left(\frac{v_{mn}}{a}\rho\right) \begin{pmatrix} \sin m\varphi \\ \cos m\varphi \end{pmatrix} e^{-j\beta z} \\ E_z = \sum_{m=0}^{\infty} \sum_{n=1}^{\infty} E_{mn} J_m\left(\frac{v_{mn}}{a}\rho\right) \begin{pmatrix} \cos m\varphi \\ \sin m\varphi \end{pmatrix} e^{-j\beta z} \\ H_\rho = \mp \sum_{m=0}^{\infty} \sum_{n=1}^{\infty} \frac{j\omega \varepsilon m a^2}{v_{mn}^2 \rho} E_{mn} J_m\left(\frac{v_{mn}}{a}\rho\right) \begin{pmatrix} \sin m\varphi \\ \cos m\varphi \end{pmatrix} e^{-j\beta z} \\ H_\varphi = \sum_{m=0}^{\infty} \sum_{n=1}^{\infty} \frac{-j\omega \varepsilon a}{v_{mn}} E_{mn} J'_m\left(\frac{v_{mn}}{a}\rho\right) \begin{pmatrix} \sin m\varphi \\ \cos m\varphi \end{pmatrix} e^{-j\beta z} \\ H_z = 0 \end{array} \right.$$

2.3 圆形波导(Circular Waveguide)

小结：

- 圆波导有其自身的特点和应用优势：几何对称性、加工方面误差小、衰减小及大功率；
- 圆波导的一般解：圆柱坐标、纵向分量法；
- 贝塞尔函数的一般特性：函数值、振荡特性、渐进式、导数及递推公式；
- 圆波导的边界条件：有限条件、周期条件、理想导体边界条件。